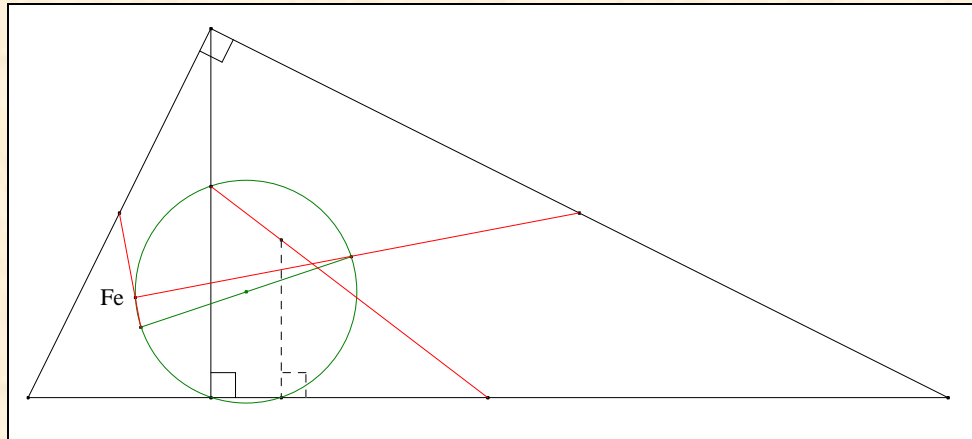


# LE THÉORÈME DE FEUERBACH – AYME <sup>1</sup>

†

Jean-Louis AYME <sup>2</sup>



## Résumé.

Un résultat de l'auteur concernant un cercle passant par le point de Feuerbach d'un triangle rectangle est présenté ainsi qu'une preuve synthétique. Ce résultat remarquable qui aurait pu être observé par des géomètres du XIX et XX-ième siècle, s'est vu attribué le titre de cet article par le site *Les-Mathématiques.net*. Comme conséquence, des alignements ont pu être établis par l'auteur et une généralisation en a été donnée sur le site *Mathlinks*.

Les figures sont toutes en position générale et tous les théorèmes cités peuvent tous être démontrés synthétiquement.

## Abstract.

A result of the author on a circle passing through the Feuerbach's point of a right triangle is presented as well as a synthetic proof. This remarkable result which could be observed by geometers of the 19th and 20th century, has been awarded the title of this article by the site *Les-Mathématiques.net*. As a consequence, alignments could be presented by the author and a generalization was given to the site of *Mathlinks*.

The figures are all in general position and all cited theorems can all be demonstrated synthetically.

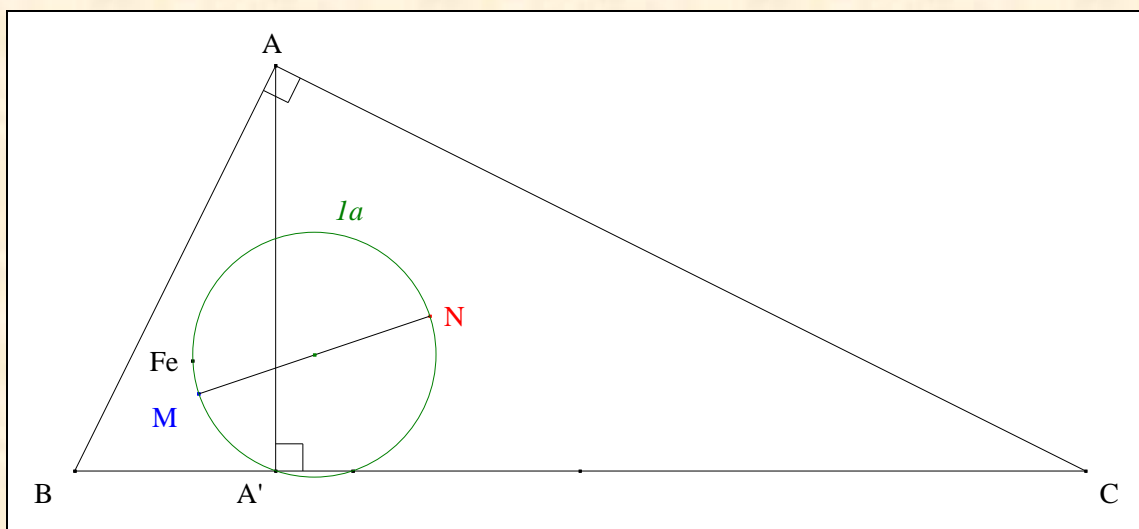
<sup>1</sup> Les-Mathématiques.net, Histoire, QDM n° 2 ; <http://www.les-mathematiques.net/phorum/read.php?17,538526>.  
<sup>2</sup> St.-Denis, Île de la Réunion (Océan Indien, France)

<b>Sommaire</b>	
<b>A. La vision de l'auteur</b>	
<b>B. L'approche</b>	
<b>I. Le parallélogramme de Feuerbach</b>	4
<b>1. Orthocentre d'un triangle I-annexe</b>	4
<b>2. Centre d'un triangle H-annexe</b>	5
<b>3. Le parallélogramme de Feuerbach</b>	7
<b>4. Une courte biographie de Karl Feuerbach</b>	9
<b>II. Des points cocycliques</b>	10
<b>1. Six points cocycliques</b>	10
<b>2. Quatre points cocycliques</b>	11
<b>III. Vers le point de Feuerbach</b>	14
<b>1. Deux parallèles</b>	14
<b>2. Deux points alignés avec le point de Feuerbach</b>	15
<b>C. La visualisation de l'auteur</b>	
<b>D. Une récolte</b>	
<b>1. Deux carrés égaux</b>	20
<b>2. La droite (A*I)</b>	20
<b>3. Un alignement avec le point de Feuerbach</b>	24
<b>E. La généralisation de Vladimir Zajic</b>	
<b>F. Annexe</b>	

## A. LA VISION DE L'AUTEUR

## VISION

Figure :



**Traits :**        ABC    un triangle A-rectangle,  
                   Fe    le point de Feuerbach de ABC,  
                   A'    le pied de la A-hauteur de ABC,  
                   M, N    les centres resp. des triangles AA'B, AA'C  
 et                Ia    le cercle de diamètre [MN].

**Donné :**        Ia passe par Fe. <sup>3</sup>

---

<sup>3</sup>

Ayme J.-L., A circle through the Feuerbach's point, *Mathlinks* du 09/09/2009 ;  
<http://www.mathlinks.ro/Forum/viewtopic.php?t=300127>

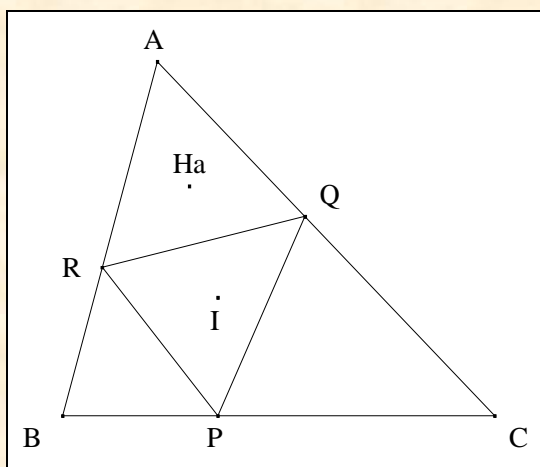
## B. L'APPROCHE

### I. LE PARALLÉLOGRAMME DE FEUERBACH<sup>4</sup>

#### 1. Orthocentre d'un triangle I-annexe

#### VISION

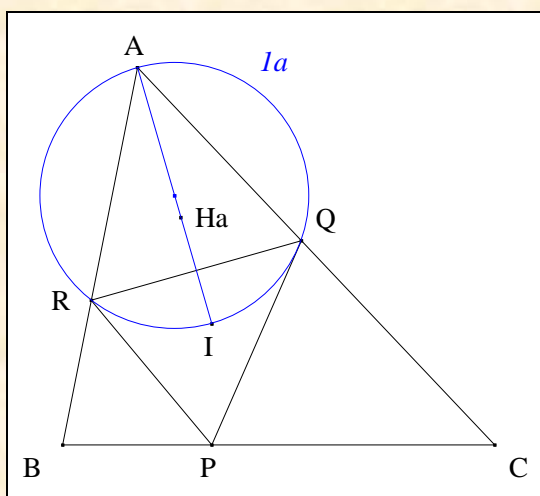
Figure :



**Traits :** ABC un triangle,  
 I le centre de ABC,  
 PQR le triangle de contact de ABC  
 et  $H_a$  le symétrique de I par rapport à (QR).

**Donné :**  $H_a$  est l'orthocentre du triangle AQR.<sup>5</sup>

#### VISUALISATION



<sup>4</sup>

Feuerbach K.

<sup>5</sup>

Emelyanov L. A., Emelyanova T. L., Three mysterious points of triangle

- Notons  $I_a$  le cercle de diamètre  $[AI]$  ; il passe par  $Q$  et  $R$ .
- Nous savons que en conséquence,
  - (1)  $ARQ$  est A-isocèle
  - (2)  $(AI) \perp (QR)$   
A,  $H_a$  et  $I$  sont alignés.
- **Conclusion :** d'après Carnot "Symétrique de l'orthocentre par rapport à un côté" (Cf. Annexe 1),  $H_a$  est l'orthocentre de  $AQR$ .

- Scolies :**
- (1)  $AQR$  est "le triangle I-annexe de  $ABC$  relativement à  $A$ ".
  - (2) Lorsque  $ABC$  est rectangle en  $A$ ,  $H_a$  se confond avec  $A$ .

**Énoncé traditionnel :** les symétriques du centre d'un triangle par rapport aux côtés du triangle de contact, sont les orthocentres des triangles annexes du triangle de contact.

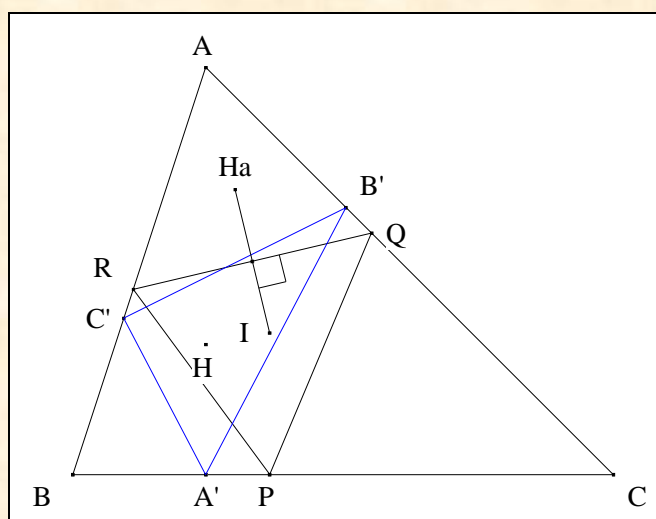
**Commentaire :** nous pourrions montrer que

$H_a$  est le symétrique de  $I$  par rapport à  $(QR)$   
*si, et seulement si,*  
 $H_a$  est l'orthocentre de  $ARQ$ .

## 2. Centre d'un triangle H-annexe

### VISION

**Figure :**

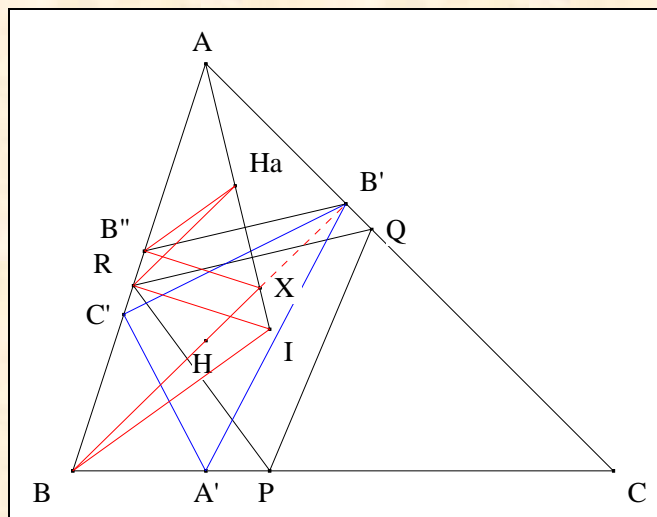


- Traits :**
- |       |   |
|-------|---|
| $ABC$ | un triangle,                                |
| $I$   | le centre de $ABC$ ,                        |
| $PQR$ | le triangle de contact de $ABC$ ,           |
| $H_a$ | le symétrique de $I$ par rapport à $(QR)$ , |
| $H$   | l'orthocentre de $ABC$                      |

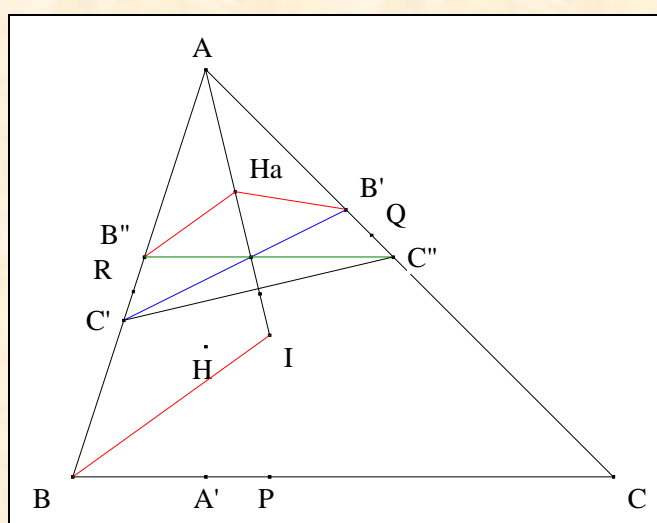
et  $A'B'C'$  le triangle orthique de  $ABC$ .

**Donné :**  $H_a$  est le centre du triangle  $AB'C'$ .<sup>6</sup>

### VISUALISATION



- Considérons la méthode de duplication<sup>7</sup>.
- Notons  $X$  le point d'intersection de  $(BB')$  et  $(AI)$ ,  
et  $B''$  le symétrique de  $B'$  par rapport à  $(AI)$ .
- Nous avons : (1)  $B''$  est sur  $(AB)$   
(2)  $(XB'') \perp (AB)$  ;  
en conséquence,  $(XB'') \parallel (IR)$ .
- D'après II. 1. Orthocentre d'un triangle I-annexe,  $(BHX) \parallel (RH_a)$ .
- D'après Pappus "Le petit théorème" (Cf. Annexe 2)  
appliqué à l'hexagone  $BIRH_aB''XB$ ,  $(B''H_a) \parallel (BI)$ .



- Notons  $C''$  le symétrique de  $C'$  par rapport à  $(AI)$ .

<sup>6</sup> Emelyanov L. A., Emelyanova T. L., Three mysterious points of triangle  
<sup>7</sup> i.e. par symétrie

- D'après "Droites antiparallèles" (Cf. Annexe 3),  $(B''C'') // (BC)$  ;  
 en conséquence,  $(B''Ha)$  est la B''-bissectrice intérieure du triangle  $AB''C''$  ;  
 par symétrie,  $(B'Ha)$  est la B'-bissectrice intérieure du triangle  $AC'B'$ .
- **Conclusion :**  $Ha$  est le centre du triangle  $AB'C'$ .

- Scolies :**
- (1)  $AB'C'$  est "le triangle H-annexe de ABC relativement à A".
  - (2)  $Ha$  est le centre de  $AB'C'$  et l'orthocentre de AQR.

**Énoncé traditionnel :** les symétriques du centre d'un triangle par rapport aux côtés du triangle de contact, sont les centres des triangles annexes du triangle orthique

ou encore,

le centre d'un triangle annexe du triangle orthique d'un triangle relativement à un sommet de ce triangle est l'orthocentre du triangle annexe du triangle de contact du triangle relativement à ce même sommet.

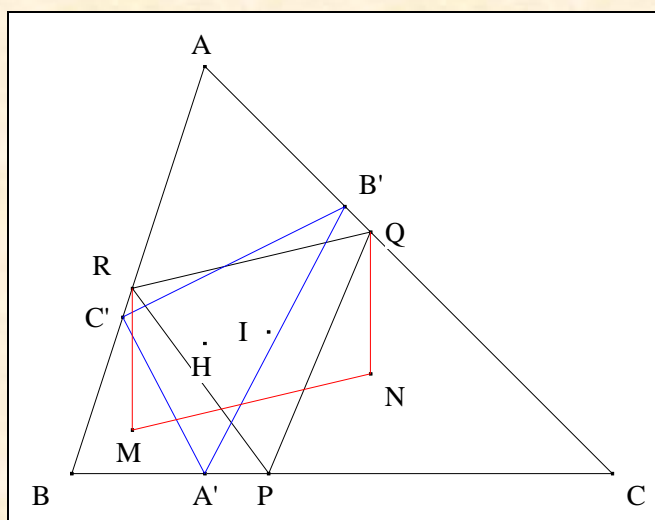
**Commentaire :** nous pourrions montrer que

$Ha$  est le symétrique de I par rapport à (QR)  
*si, et seulement si,*  
 $Ha$  est le centre de  $AC'B'$ .

### 3. Le parallélogramme de Feuerbach

#### VISION

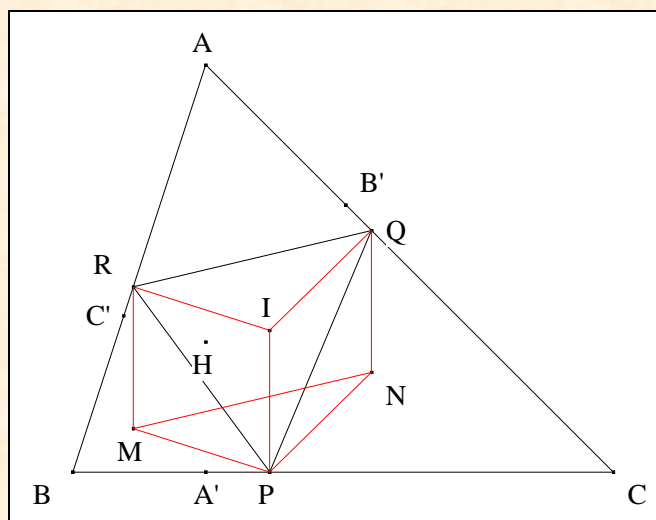
**Figure :**



**Traits :** ABC un triangle,  
 H l'orthocentre de ABC,  
 A'B'C' le triangle orthique de ABC,  
 I le centre de ABC,  
 PQR le triangle de contact de ABC  
 et M, N les centres des triangles BC'A', CA'B'.

**Donné :** le quadrilatère MNQR est un parallélogramme.

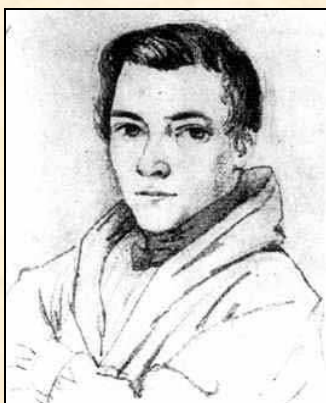
### VISUALISATION



- D'après II. 2. Centre d'un triangle H-annexe, (1) M est l'orthocentre de BRP  
 (2) N est l'orthocentre de CQP.
- D'après Carnot "Symétrie de l'orthocentre par rapport au milieu d'un côtés" (Cf. Annexe 1) appliqué à BC'A', CA'B', les quadrilatères IPMR et IPNQ sont deux parallélogramme; en conséquences, (1) (RM) // (IP) et (IP) // (QN) ;  
 (2) RM = IP et IP = QN.
- Par transitivité des relations // et =, (1) (RM) // (QN) ;  
 (2) RM = QN.
- **Conclusion :** le quadrilatère MNQR ayant deux côtés opposés parallèles et égaux, est un parallélogramme.



#### 4. Une courte biographie de Karl Feuerbach



Karl Feuerbach, le frère du fameux philosophe Ludwig Feuerbach, est né à Iéna en Allemagne, le 30 mai 1800 dans une famille protestante.

Fils du professeur de droit Paul J. A. Ritter von Feuerbach et d'Éva Troster, le brillant étudiant de l'Université d'Erlangen, puis de Freiburg, obtient à l'âge de 22 ans son doctorat et commence à enseigner les mathématiques au gymnasium d'Erlangen tout en continuant à fréquenter un cercle d'étudiants de cette ville, connu pour leur débauche et leurs dettes.

En 1824, Feuerbach est arrêté et emprisonné avec 19 étudiants pour une année, à Munich, à cause de ses positions politiques. Se sentant responsable de tout, il devient dépressif et tente par deux fois, pour sauver ses compagnons, de se suicider en se coupant les veines, puis en sautant d'une fenêtre. Après sa libération, il retourne vivre dans sa famille et profite d'une intervention du roi pour retrouver un poste d'enseignant à Hof qu'il quittera suite à une nouvelle dépression. En 1828, connaissant une amélioration de santé, il enseigne de nouveau à Erlangen jusqu'au jour où dégainant une épée dans sa classe, il menace de trancher la tête des élèves qui ne savent pas résoudre l'équation qu'il a écrite au tableau. Abandonnant l'enseignement, il vivra en reclus les six dernières années de sa courte vie en se laissant pousser les cheveux, la barbe et les ongles tout en contemplant les peintures de son neveu, le peintre Anselme Feuerbach.

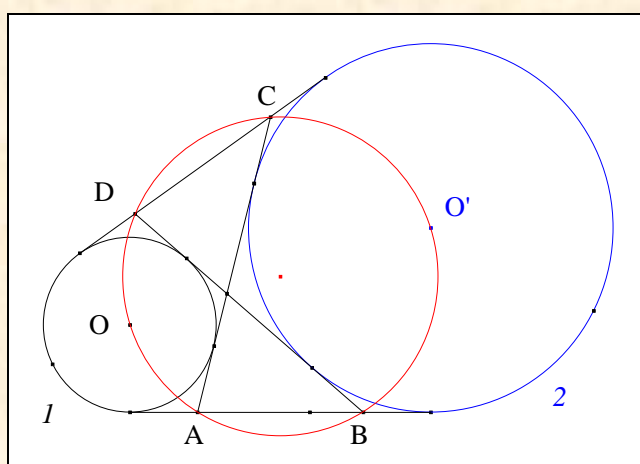
Ce professeur impulsif et perturbé décède à Erlangen, le 12 mars 1834.

## II. DES POINTS COCYCLIQUES

### 1. Six points cocycliques

#### VISION

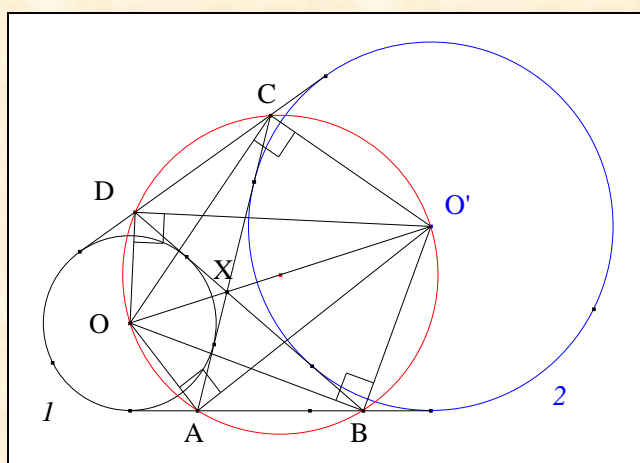
Figure :



**Traits :**  $I, 2$  deux cercles extérieurs l'un de l'autre,  
 $O, O'$  les centres resp. de  $I, 2$   
 et  $A, B, C, D$  les quatre points d'intersection des tangentes intérieures et extérieures  
 comme indiqués sur la figure.

**Donné :**  $A, B, C, D, O$  et  $O'$  sont cocycliques.<sup>9</sup>

#### VISUALISATION



- Notons  $X$  le point d'intersection des deux tangentes intérieures.
- **Scolie :** par symétrie,  $O, X$  et  $O'$  sont alignés.

<sup>9</sup> Dupain J. Ch., Note sur les tangentes communes à deux cercles, *Nouvelles annales de mathématiques, journal des candidats aux écoles polytechnique et normale*, Sér. 2, **8** (1869) 458-459 ;  
<http://www.numdam.org/numdam-bin/feuilleter?j=NAM&sl=0>

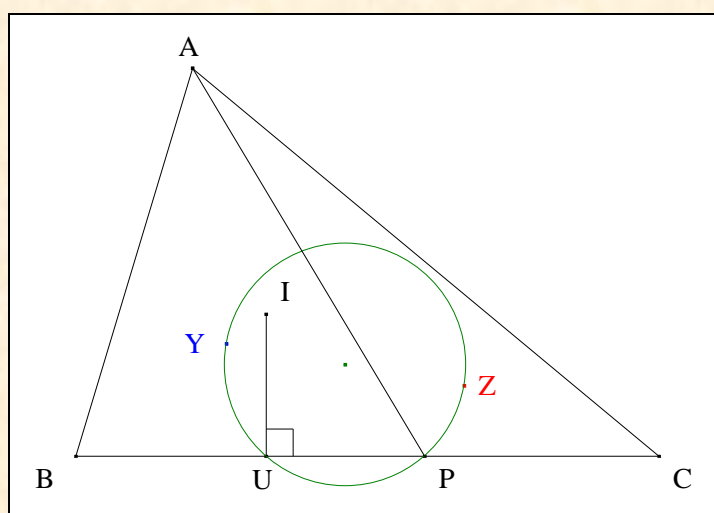
- $(AO)$  et  $(AO')$  étant resp. les A-bissectrices extérieure et intérieure du triangle  $XAB$ ,  $(AO) \perp (AO')$ .
- Mutatis mutandis, nous montrerions que,  $(BO) \perp (BO')$   
 $(CO) \perp (CO')$   
 $(DO) \perp (DO')$ .
- D'après Thalès "Triangle rectangle inscritible dans un demi cercle",  
A, B, C, D sont sur le cercle de diamètre  $[OO']$ .
- **Conclusion :** A, B, C, D, O et O' sont cocycliques.

**Note historique :** ce résultat a été redécouvert en 1887 par C. Reinhardt <sup>10</sup>.

## 2. Quatre points cocycliques

### VISION

**Figure :**

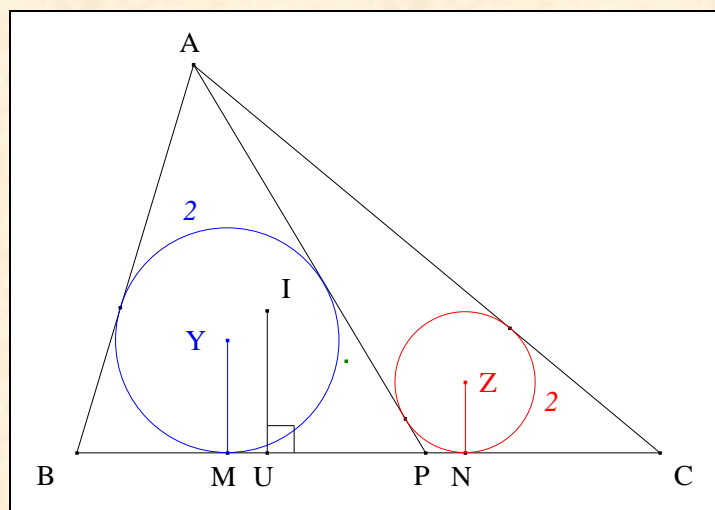


**Traits :** ABC un triangle,  
I le centre de ABC,  
P un point de  $[BC]$ ,  
Y, Z les centres resp. des triangles APB, APC  
et U le pied de la perpendiculaire abaissée de I sur  $(BC)$ .

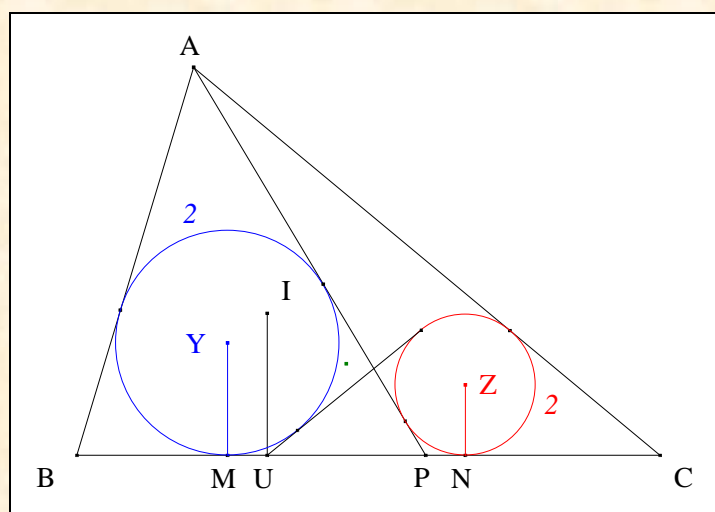
**Donné :** U, Y, Z et P sont cocycliques. <sup>11</sup>

### VISUALISATION

<sup>10</sup> Reinhardt C., *Zeitschrift für Mathematik und Physik* fondée en 1856 par O. Schlömilch **32** (1887) 183  
<sup>11</sup> *American Mathematical Monthly*



- Notons  $2, 3$  les cercles inscrits resp. des triangles APB, APC  
et  $M, N$  les points de contact resp. de  $2$  et  $3$  avec  $(BC)$ .
- Un chasse segmentaire :  $2.MU = 2.BU - 2.BM$  ;  
d'après "Le théorème  $(p - a)$ " (Cf. Annexe 4)  $2.MU = [AB + BC + CA] - [AB + BP - PA]$  ;  
en conséquence,  $2.MU = AP + PC - CA$   
i.e.  $2.MU = 2.PN$ .



- **Conclusion partielle** : d'après Euclide "Deux tangentes égales" (Cf. Annexe 5),  
la tangente commune intérieure de  $2$  et  $3$ , distincte de  $(AP)$ , passe par  $U$ .

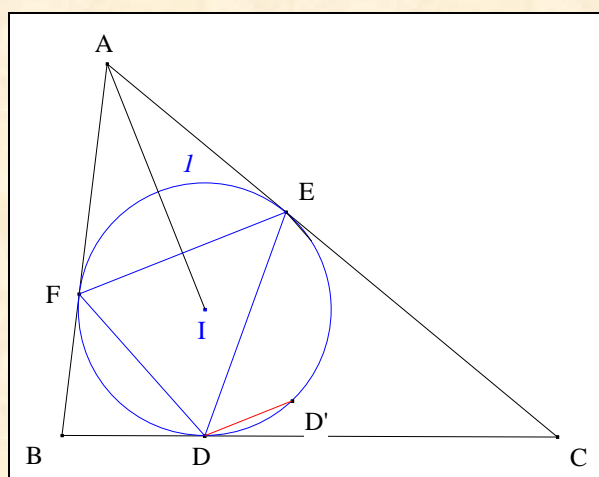


### III. VERS LE POINT DE FEUERBACH

#### 1. Deux parallèles

#### VISION

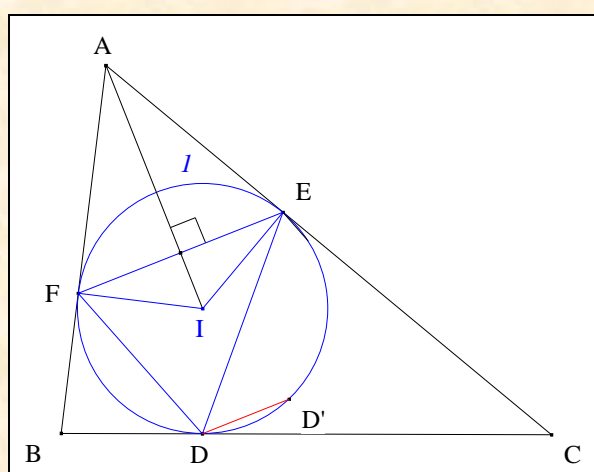
Figure :



**Traits :** ABC un triangle,  
 $I$  le cercle inscrit dans ABC,  
 $I$  le centre de  $I$ ,  
 DEF le triangle de contact de ABC  
 et  $D'$  le symétrique de  $D$  par rapport à  $(AI)$ .

**Donné :**  $(DD')$  est parallèle à  $(EF)$ .

#### VISUALISATION



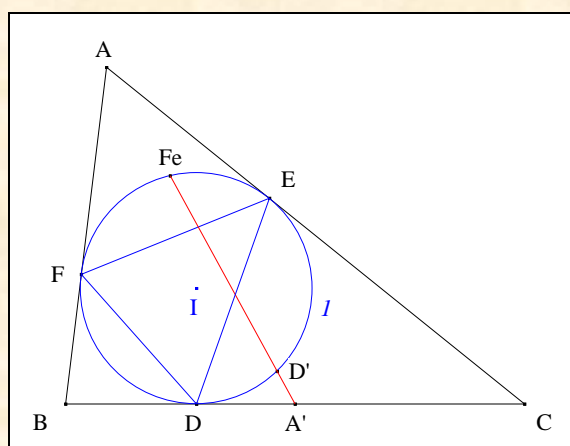
- Par symétrie d'axe  $(AI)$ ,  $D'$  est sur  $I$ .
- Par hypothèse,  $(DD') \perp (AI)$  ;  
 d'après le théorème de la médiatrice,  $(AI) \perp (EF)$ .

- **Conclusion** : d'après l'axiome IVa des perpendiculaires,  $(DD') // (EF)$ .

## 2. Deux alignés avec le point de Feuerbach

### VISION

Figure :



<b>Traits :</b>	ABC	un triangle,
	A'	le milieu de [BC],
	I	le cercle inscrit de ABC,
	I	le centre de I,
	DEF	le triangle de contact de ABC,
	D'	le symétrique de P par rapport à (AI),
et	Fe	le point de Feuerbach de ABC.

**Donné :** Fe, D' et A' sont alignés.<sup>12</sup>

**Commentaire :** une preuve plus complète i.e. mettant en œuvre un quatrième point, a été donnée par l'auteur<sup>13</sup>.

<sup>12</sup> Fontené G., Sur le théorème de Feuerbach, *Nouvelles Annales*, Séries 4, vol. 8, 1907

<sup>13</sup> Ayme J.-L., Les deux points de Schroeter, G.G.G. vol. 2 p. 20 ; <http://perso.orange.fr/jl.ayme/>

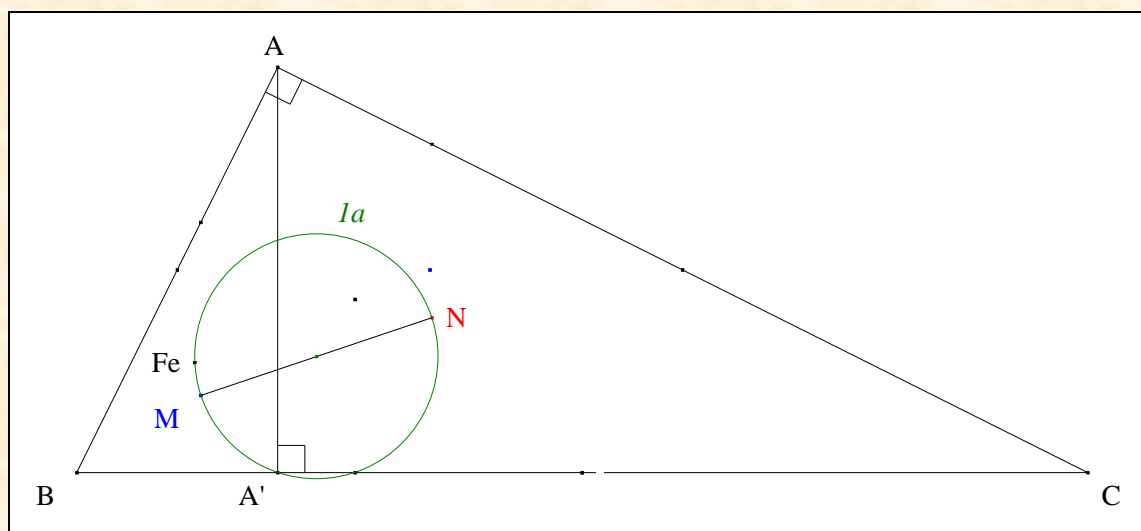
## C. LA VISUALISATION

DE

L'AUTEUR

VISION

Figure :



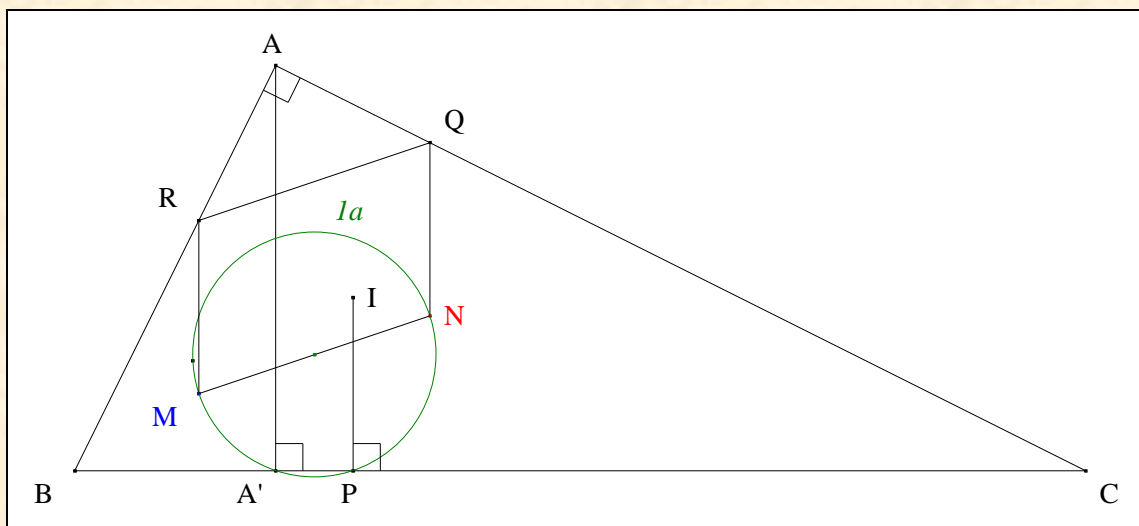
**Traits :**      ABC    un triangle A-rectangle,  
                  Fe    le point de Feuerbach de ABC,  
                  A'    le pied de la A-hauteur de ABC,  
                  M, N    les centres resp. des triangles AA'B, AA'C  
 et                Ia    le cercle de diamètre [MN].

**Donné :**      Ia passe par Fe. <sup>14</sup>

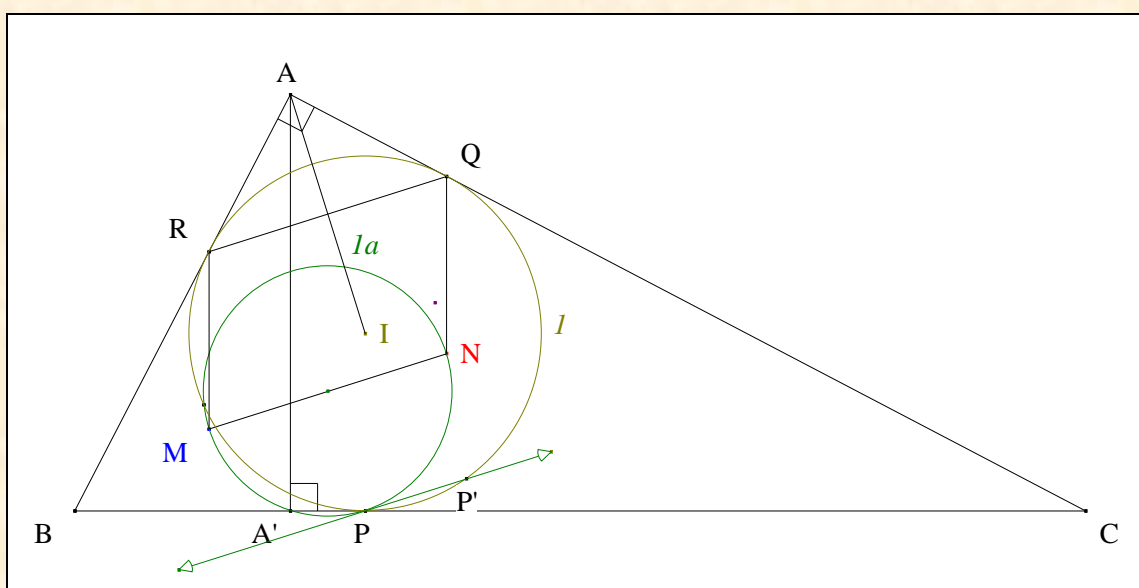
VISUALISATION

<sup>14</sup>Ayme J.-L., A circle through the Feuerbach's point, *Mathlinks* du 09/09/2009 ;<http://www.mathlinks.ro/Forum/viewtopic.php?t=300127> ;*Les-Mathématiques.net*, Histoire, QDM n° 2 ; <http://www.les-mathematiques.net/phorum/read.php?17,538526>

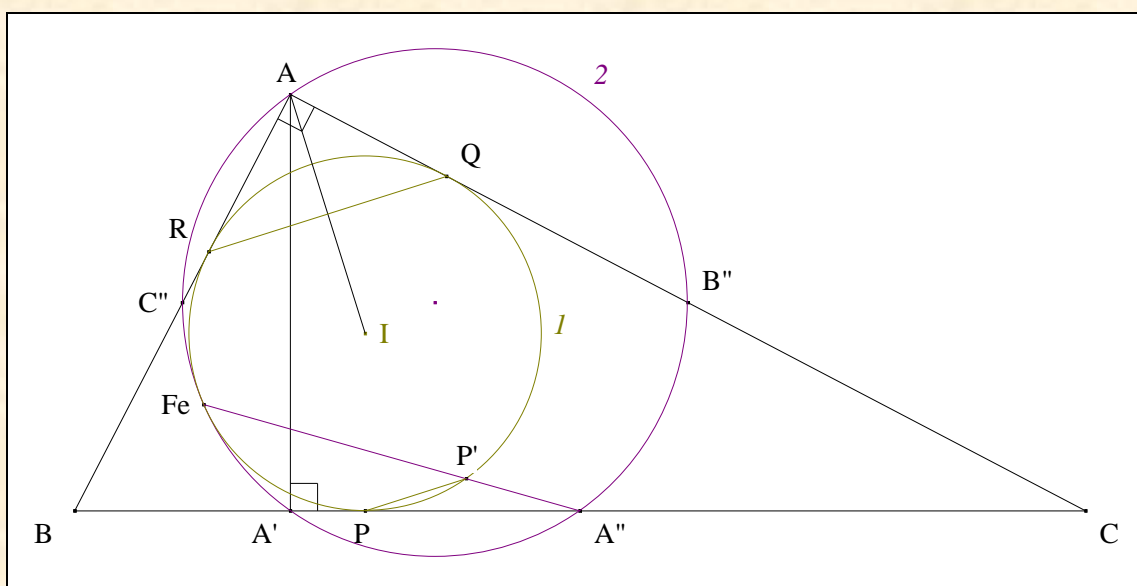




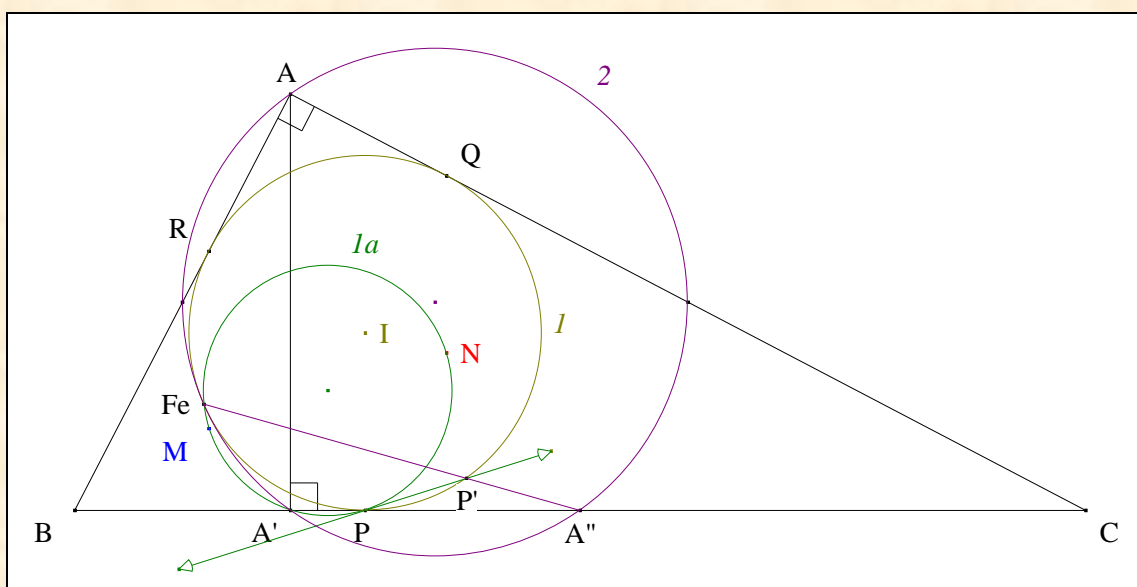
- Notons  $PQR$  le triangle de contact de  $ABC$ .
- D'après **B. I. 3.** Le parallélogramme de Feuerbach,  $(MN) \parallel (QR)$ .
- D'après **B. II. 2.** Quatre points cocycliques,  $Ia$  passe par  $A'$  et  $P$ .



- Notons  $I$  le cercle inscrit de  $ABC$  ; il passe par  $P, Q, R$  ;  
et  $P'$  le symétrique de  $P$  par rapport à  $(AI)$ .
- **Scolie :**  $P'$  est sur  $I$ .
- D'après **B. III. 1.** Deux parallèles,  $(QR) \parallel (PP')$  ;  
par transitivité de la relation  $\parallel$ ,  $(MN) \parallel (PP')$ .
- $(PP')$  étant parallèle à la droite diamétrale  $(MN)$  de  $Ia$ ,  $(PP')$  est la tangente à  $Ia$  en  $P$ .



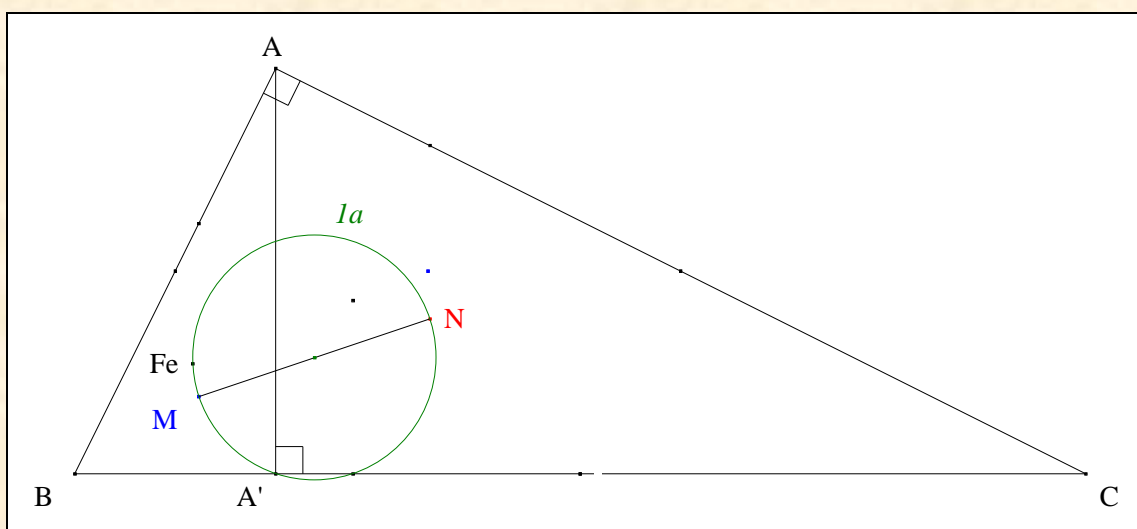
- Notons  $A''B''C''$  le triangle médian de ABC  
et  $2$  le cercle d'Euler de ABC ; il passe par  $A''$ ,  $B''$ ,  $C''$ .
- D'après "Le théorème de Feuerbach" <sup>15</sup>,  $I$  et  $2$  sont tangents en  $Fe$ .
- D'après **B. III. 2.** Deux points alignés avec le point de Feuerbach,  $Fe$ ,  $P'$  et  $A''$  sont alignés.



- D'après Miquel "Le théorème des trois cercles" (Cf. Annexe 6) appliqué au triangle  $PA''P'$  avec  $A'$  sur  $(PA'')$ ,  $Fe$  sur  $(A''Fe)$  et  $P$  sur  $(PP')$ , les cercles  $2$ ,  $I$  et  $Ia$  sont concourants en  $Fe$ .

<sup>15</sup>

Ayme J.-L., Le théorème de Feuerbach, G.G.G. vol. 1 ; <http://perso.orange.fr/jl.ayme/>



- **Conclusion :**  $Ia$  passe par Fe.

**Note historique :**

Une solution par inversion a été proposée par Luis<sup>16</sup> sur le site *Mathlinks*.  
 Une application d'une généralisation trouvée par Vladimir Zajic<sup>17</sup> plus connu sous le pseudonyme de "Yetti" sur le site *Mathlinks*, lui a permis de démontrer le résultat de l'auteur.  
 Norbert Verdier et Bernard Schott<sup>18</sup> ont convenu d'appeler ce résultat "Le théorème de Feuerbach-Ayme" dans "La question du Mardi n° 2" que propose le site *Les-Mathématiques.net* dans le rubrique "Histoire des maths".

<sup>16</sup> <http://www.mathlinks.ro/Forum/viewtopic.php?t=300127>

<sup>17</sup> Zajic V., 3 circles concurrent at Feuerbach point, *Mathlinks* du 14/08/2009 ;

<http://www.mathlinks.ro/Forum/viewtopic.php?t=301033>

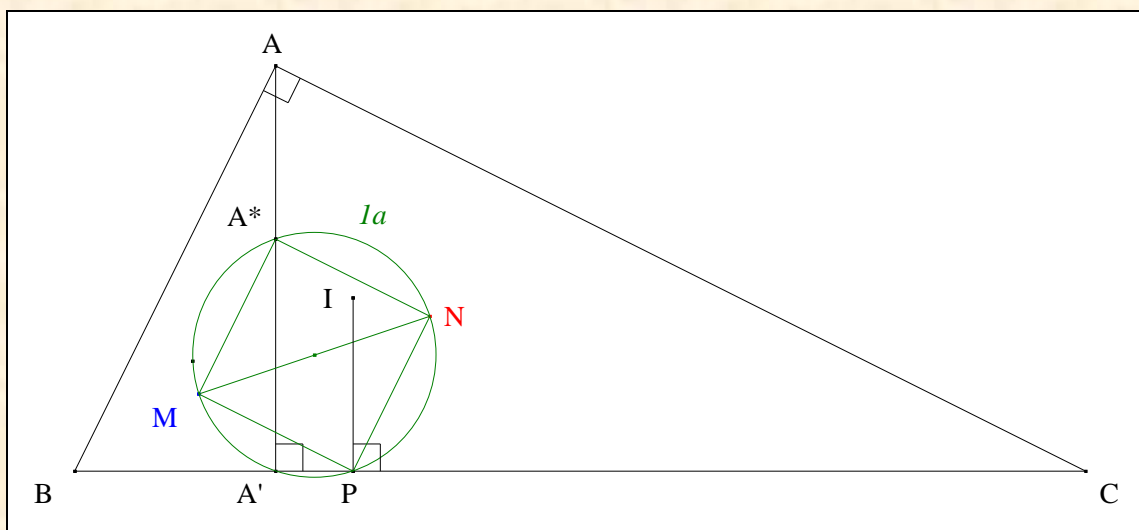
<sup>18</sup> Les-Mathématiques.net, Histoire, QDM n° 2 ; <http://www.les-mathematiques.net/phorum/read.php?17,538526>.

## D. UNE RÉCOLTE

## 1. Deux carrés égaux

## VISION

Figure :



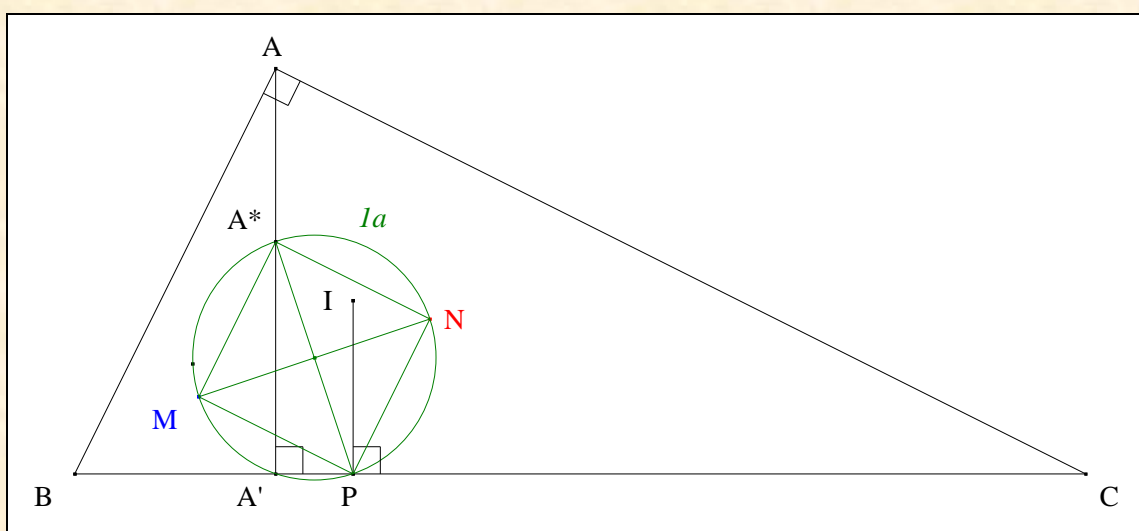
**Traits :**

- ABC un triangle A-rectangle,
- I le centre de ABC,
- A' le pied de la A-hauteur de ABC,
- M, N les centres resp. des triangles AA'B, AA'C,
- $Ia$  le cercle de diamètre [MN],
- A\* le second point d'intersection de (AA') avec  $Ia$

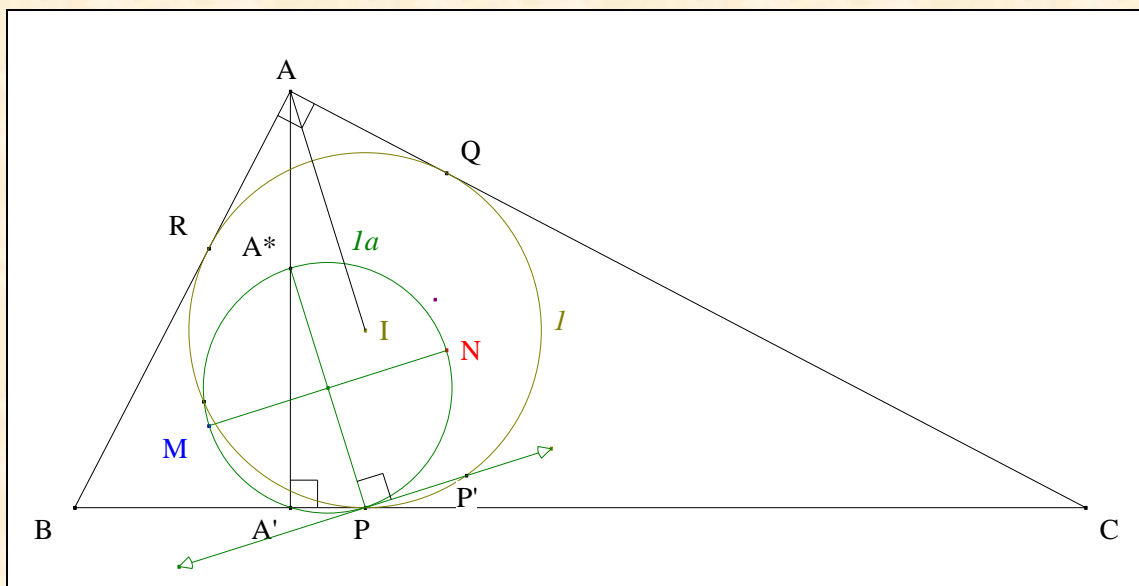
et P le pied de la perpendiculaire abaissée de I sur (BC).

**Donné :** le quadrilatère MPNA\* est un carré.

## VISUALISATION

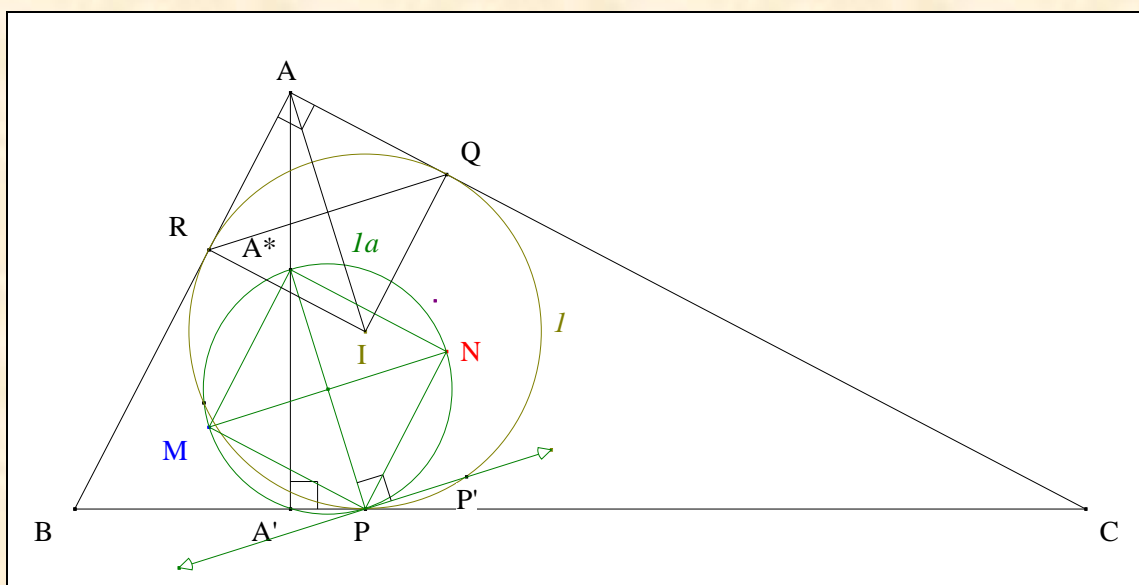


- **Scolie :**  $Ia$  passe par  $A'$  et  $P$ .
- D'après Thalès "Triangle inscritible dans un demi cercle",  $[PA^*]$  est un diamètre de  $Ia$ .



- Notons  $I$  le cercle inscrit de  $ABC$  ; il passe par  $P, Q, R$  ;  
et  $P'$  le symétrique de  $P$  par rapport à  $(AI)$ .
- **Scolie :**  $P'$  est sur  $I$ .
- D'après **C**. La visualisation de l'auteur,  $(PP')$  est la tangente à  $Ia$  en  $P$  ;  
en conséquence,  $(PA^*) \perp (PP')$  ;  
d'après **B. III. 1**. Deux parallèles  $(PP') \parallel (MN)$  ;  
d'après l'axiome **IVa** des parallèles,  $(PA^*) \perp (MN)$ .
- **Conclusion :** le quadrilatère  $MPNA^*$  est un carré.

**Scolies :** (1) un second carré

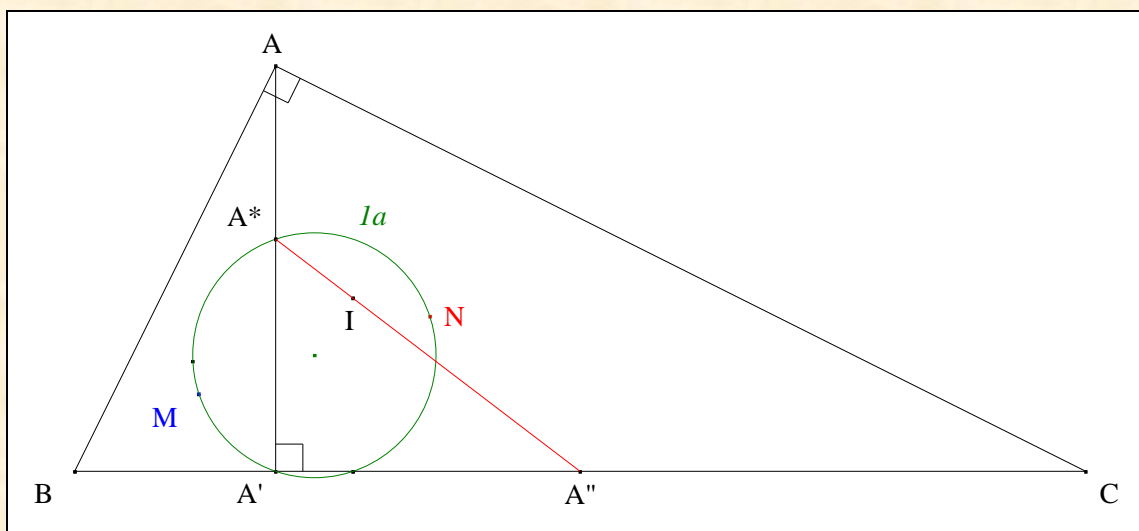




## 2. La droite (A\*I)

## VISION

Figure :



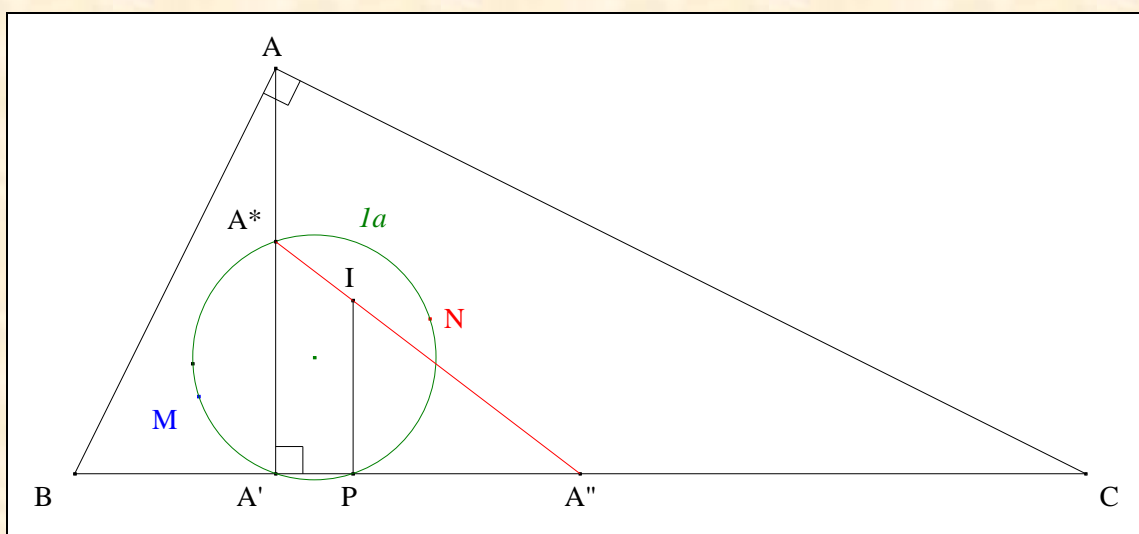
**Traits :**

- ABC un triangle A-rectangle,
- I le centre de ABC,
- A' le pied de la A-hauteur de ABC,
- M, N les centres resp. des triangles AA'B, AA'C,
- Ia le cercle de diamètre [MN],
- A\* le second point d'intersection de (AA') avec Ia

et A'' le milieu de [BC].

**Donné :** (A\*I) passe par A''.

## VISUALISATION



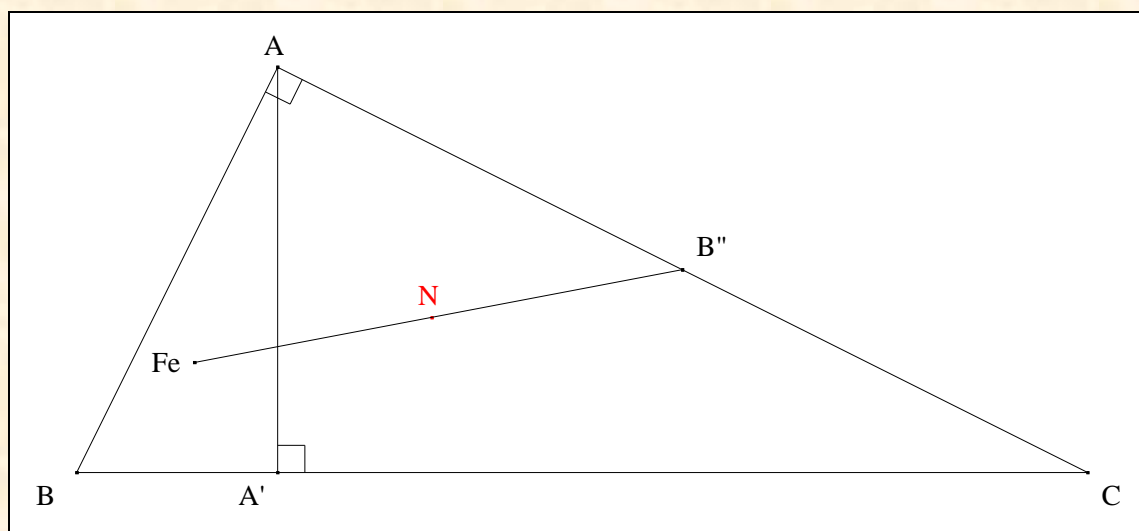
- Notons P le pied de la perpendiculaire abaissée de I sur (BC).
- D'après D. 1. Deux carrés égaux, scolie 2,  $AA^* = IP$  (i.e. le rayon de I).

- **Conclusion** : d'après Poncelet "Rayon du cercle inscrit" (Cf. Annexe 7),  $(A^*I)$  passe par  $A$ .

### 3. Un alignement avec le point de Feuerbach

#### VISION

Figure :



**Traits :**

ABC	un triangle A-rectangle,
B''	le milieu de [AC],
A'	le pied de la A-hauteur de ABC,
N	le centre du triangle AA'C,

et

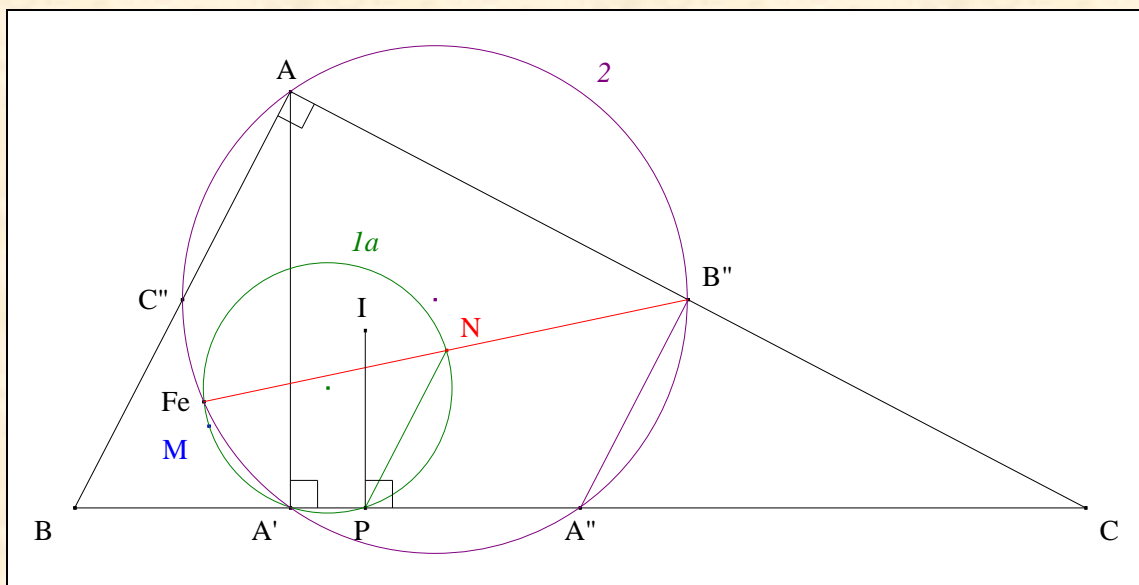
Fe	le point de Feuerbach de ABC
----	------------------------------

**Donné :** Fe, N et B'' sont alignés. <sup>20</sup>

#### VISUALISATION

<sup>20</sup> Ayme J.-L., Two points collinear with the Feuerbach's points, *Mathlinks* du 13/09/2009 ; <http://www.mathlinks.ro/Forum/viewtopic.php?t=300812>



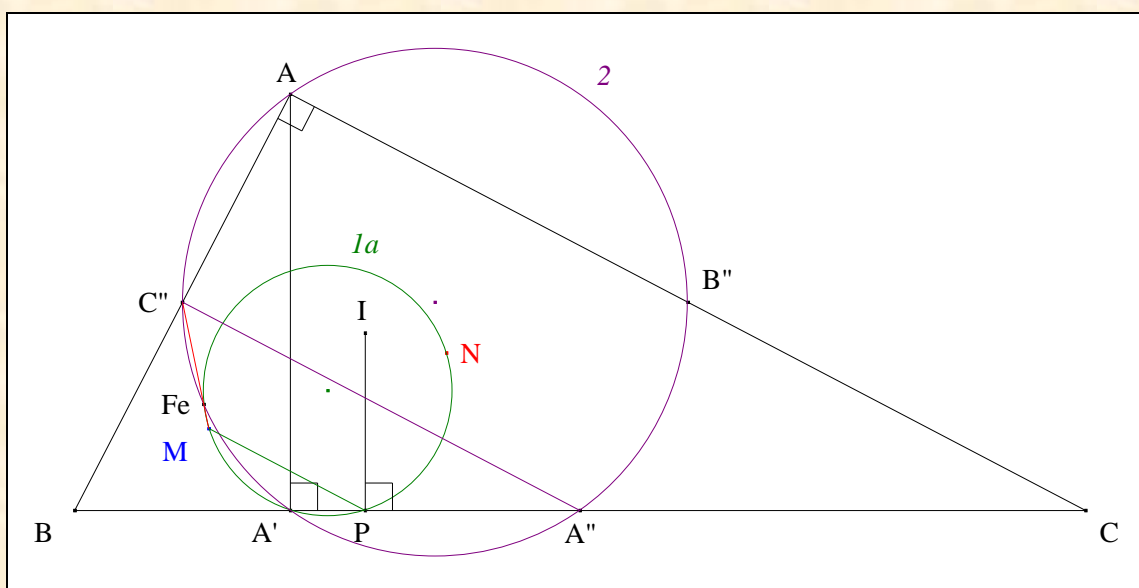


- Notons
 

I	le centre de ABC
P	le pied de la perpendiculaire abaissée de I sur (BC),
M	le centre du triangles AA'B,
<i>Ia</i>	le cercle de diamètre [MN],
A''B''C''	le triangle médian de ABC
et 2	le cercle d'Euler de ABC.
- D'après **D. 1.** Deux carrés égaux, scolie 3, nous avons :
 

(PN) // (AB) ;	
(AB) // (A''B'') ;	
par transitivité de la relation //,	(PN) // (A''B'').
- **Conclusion :** les cercles *Ia* et 2, les points de base A' et Fe, la médiane (PA'A''), les parallèles (PN) et (A''B''), conduisent au théorème **0'** de Reim ; en conséquence, Fe, N et B'' sont alignés.

**Scolie :** un second alignement avec le point de Feuerbach

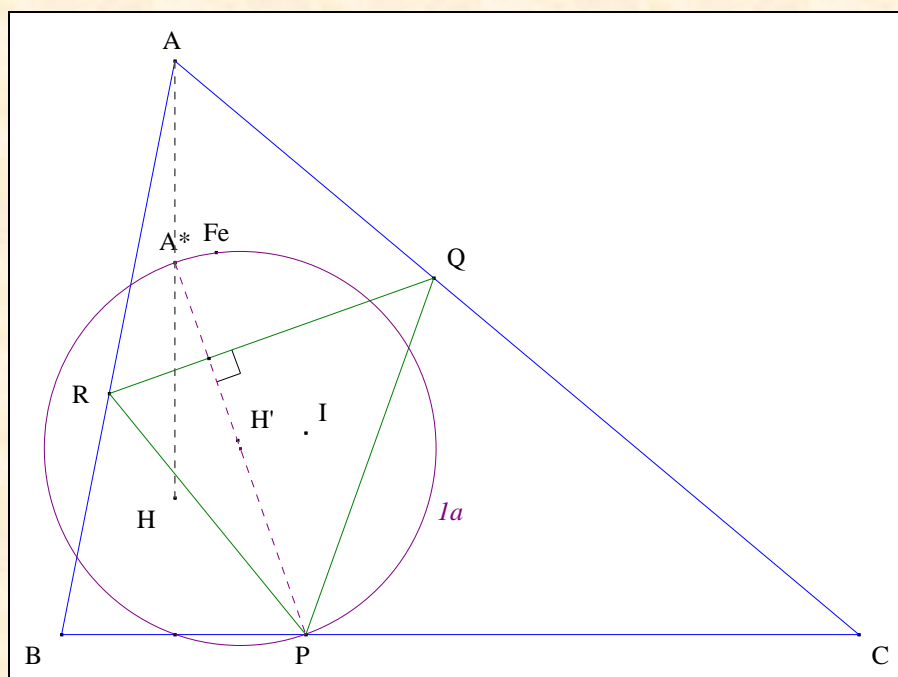


- **Conclusion :** mutatis mutandis, nous montrerions que Fe, M et C'' sont alignés.

## E. LA GÉNÉRALISATION DE VLADIMIR ZAJIC

### VISION

Figure :

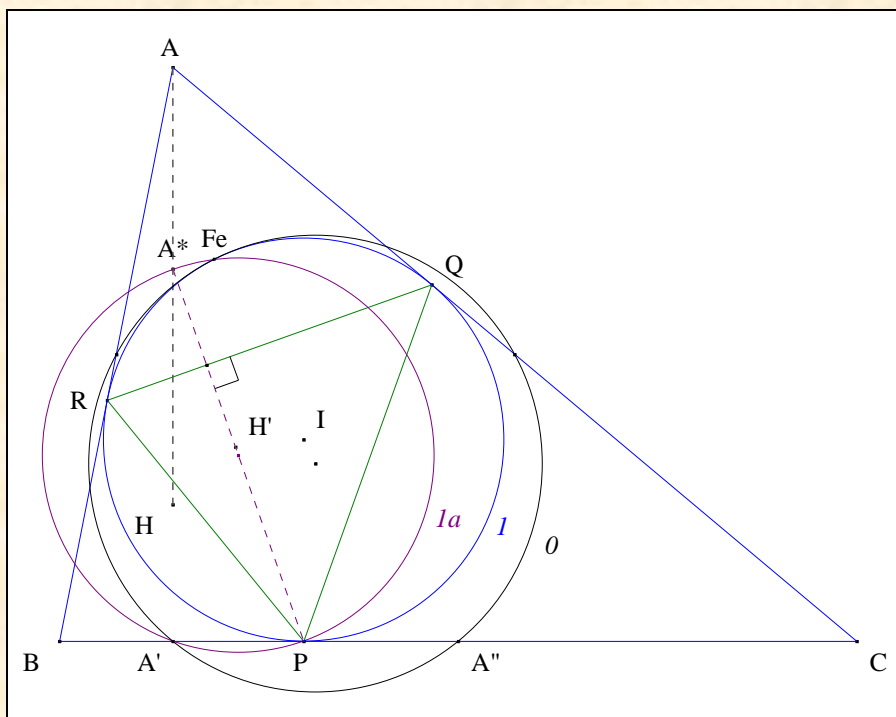


<b>Traits :</b>	ABC	un triangle,
	PQR	le triangle de contact de ABC,
	H'	l'orthocentre de PQR,
	H	l'orthocentre de ABC,
	A*	le point d'intersection de (PH') et (AH),
	Ia	le cercle de diamètre [PA*]
et	Fe	le point de Feuerbach de ABC.

**Donné :** Ia passe par Fe.<sup>21</sup>

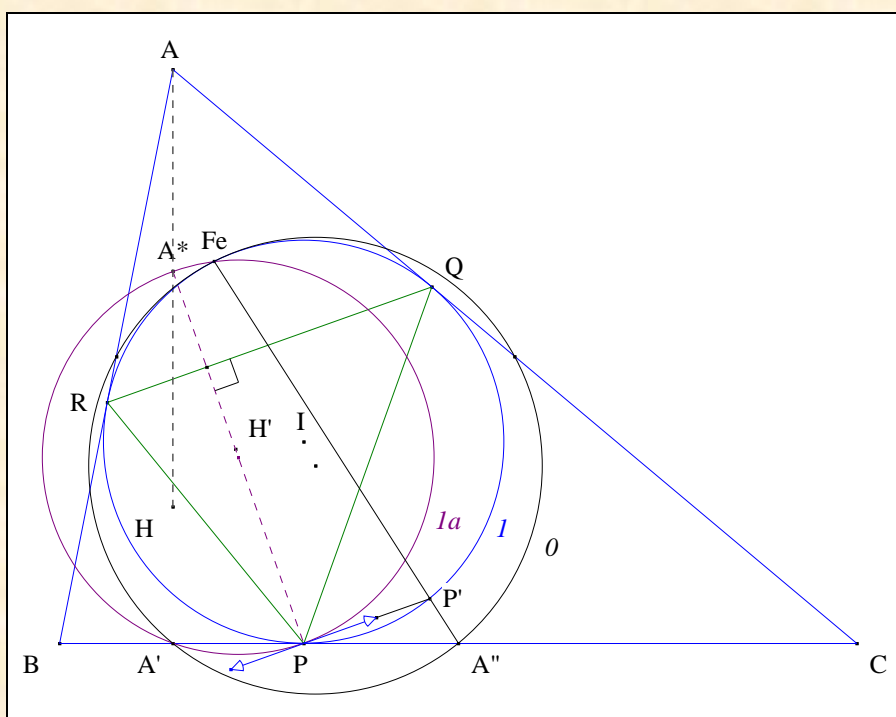
### VISUALISATION

<sup>21</sup> Zajic V., 3 circles concurrent at Feuerbach point, *Mathlinks* du 14/09/2009 ; <http://www.mathlinks.ro/Forum/viewtopic.php?t=1631082#1631082>



- Notons
 

$A'$	le pied de la A-hauteur de ABC,
$A''$	le milieu de $[BC]$ ,
$O$	le cercle d'Euler de ABC ; il passe par $A', A''$ et $Fe$ ;
- et  $I$  le cercle inscrit de ABC ; il passe par  $P$  et  $Fe$ .



- Notons  $P'$  le second point d'intersection de  $(FeA'')$  avec  $I$ .
- D'après "Symétrique de OI..."<sup>22</sup>, en conséquence, nous savons que
 

$P'$ est le symétrique de $P$ par rapport à $(AI)$ ;
$(PP') \perp (AI)$ ;
$(AI) \perp (QR)$ ;

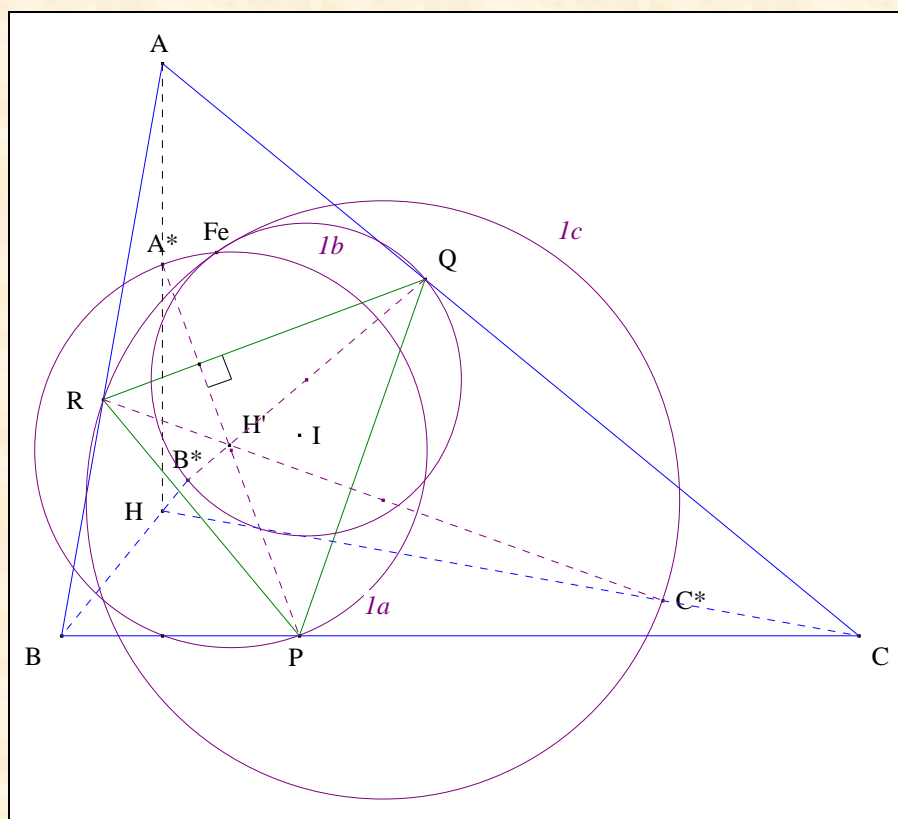
22

Ayme J.-L., Symétrique de OI..., G.G.G. vol. 4 p. 10-11 ; <http://pagesperso-orange.fr/jl.ayme/>

d'après l'axiome **IVa** des perpendiculaires,  $(PP') \parallel (QR)$  ;  
 par hypothèse,  $(QR) \perp (PH')$  ;  
 d'après l'axiome **IVa** des perpendiculaires,  $(PP') \perp (PH')$  ;  
 ( $A'H'$  étant une droite diamétrale de  $la$ ,  $(PP')$  est la tangente à  $la$  en P.

- **Conclusion** : d'après Miquel "Le théorème du pivot" (Cf. Annexe 8) appliqué au triangle  $PA''P'$  avec  $A'$  sur  $(PA'')$ ,  $Fe$  sur  $(A''P')$  et  $P$  sur  $(PP')$ ,  $la$  passe par  $Fe$ .

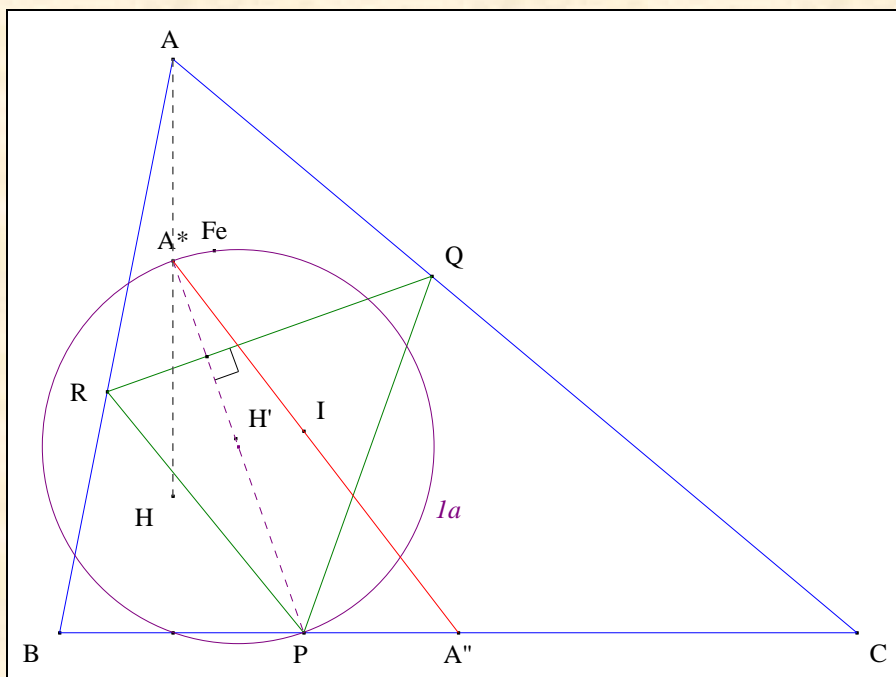
**Scolies** : (1) deux autres cercles passant par  $Fe$



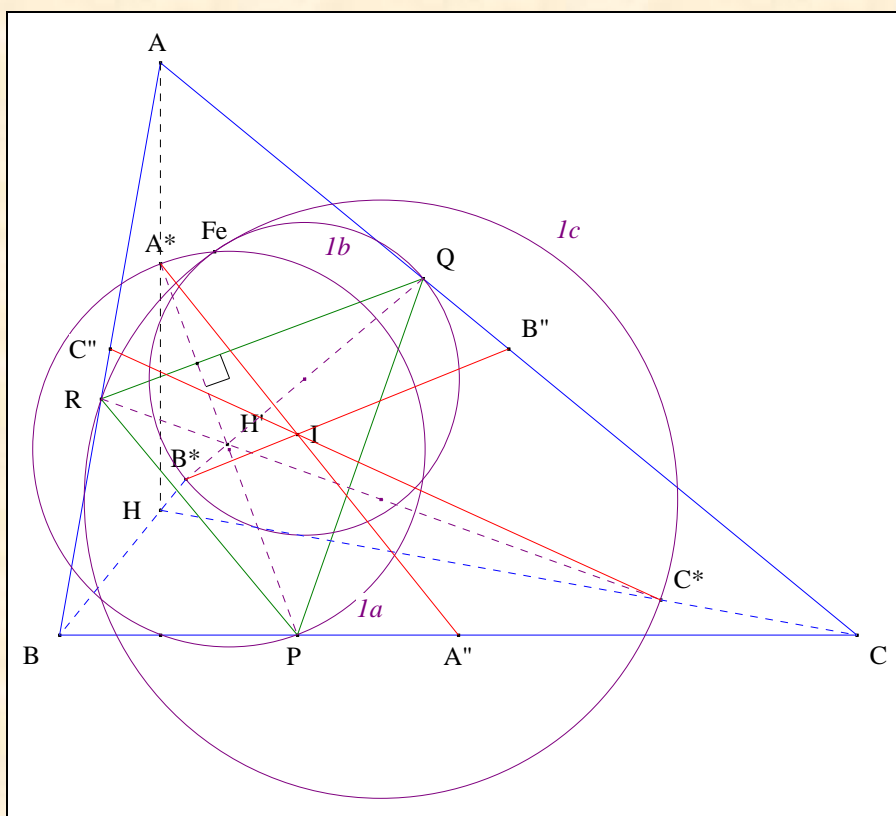
- Notons  $B^*, C^*$  les points d'intersection resp. de  $(QH')$  et  $(BH)$ , de  $(RH')$  et  $(CH)$ ,  
 et  $lb, lc$  les cercles de diamètre resp.  $[QB^*], [RC^*]$ .

- **Conclusion** : mutatis mutandis, nous montrerions que  $lb$  et  $lc$  passent par  $Fe$ .

(2) La droite  $(A^*I)$  passe par  $A''$



- La preuve est identique à celle présentée en **D. 2**. La droite  $(A^*I)$ .
- **Conclusion** : la droite  $(A^*I)$  passe par  $A''$ .



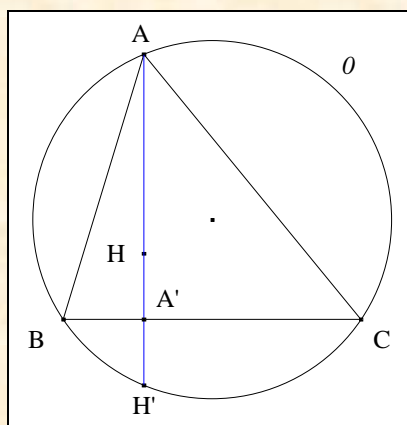
- Mutatis mutandis, nous montrerions que  $(B^*I)$  passe par  $B''$   
 $(C^*I)$  passe par  $C''$ .

**Note historique :** cette généralisation a été présentée par Vladimir Zajic <sup>23</sup> sur le site *Mathlinks*.

**Commentaire :** ce résultat peut être aussi considéré comme une généralisation des cercles de Michel Garitte. <sup>24</sup>

## F. ANNEXE

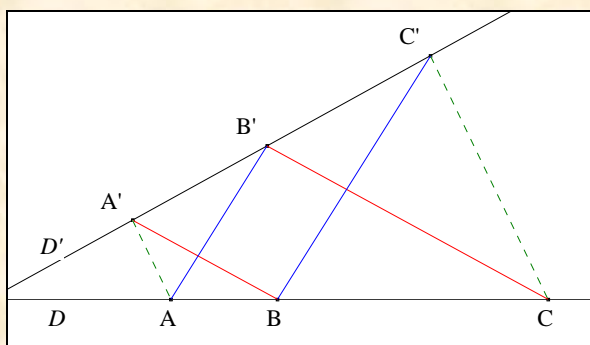
### 1. Symétrique de l'orthocentre par rapport à un côté <sup>25</sup>



**Traits :** ABC un triangle,  
 H l'orthocentre du triangle,  
 A' le pied de la A-hauteur de ABC,  
 O le cercle circonscrit à ABC  
 et H' le pied de la A-hauteur de ABC sur  $\theta$ .

**Donné :** A' est le milieu de [HH'].

### 2. Le petit théorème de Pappus <sup>26</sup>



**Traits :**  $D, D'$  deux droites,  
 A, B, C trois points pris dans cet ordre sur  $D$ ,  
 B' un point

<sup>23</sup> Zajic V., 3 cercles concurrent at Feuerbach point (generalization from right triangle), *Mathlinks* du 14/09/2009 ; <http://www.mathlinks.ro/Forum/viewtopic.php?p=1631082#1631082>

<sup>24</sup> Ayme J.-L., Symétrie de (OI)..., G.G.G. vol. 4, p. 14 ; <http://pagesperso-orange.fr/jl.ayme/>.

<sup>25</sup> Carnot, n° 142, *De la corrélation des figures géométriques* (1801) 101

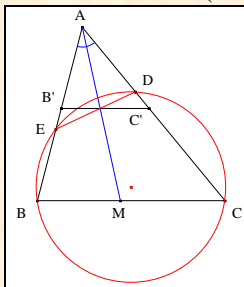
<sup>26</sup> Pappus, *Collections* Livre VII

et  $A', C'$  deux points de  $D'$  tels que  $(AB') \parallel (BC')$  et  $(A'B) \parallel (B'C)$ .

**Donné :**  $B'$  est sur  $D'$  si, et seulement si,  $(AA')$  et  $(CC')$  sont parallèles.

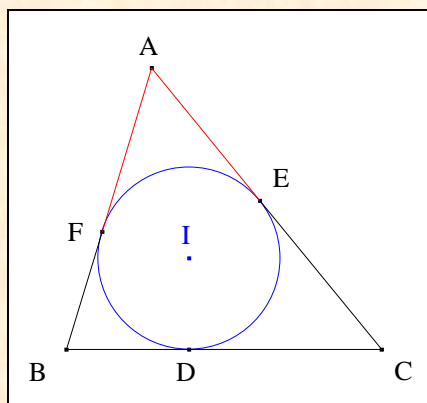
### 3. Droites antiparallèles

$(ED)$  est la symétrique de  $(B'C')$  par rapport à la bissectrice  $(AM)$  de  $\angle A$



$(ED)$  est antiparallèle à  $(BC)$  relativement à  $(AB)$  et  $(AC)$

### 4. Le théorème $(p - a)$

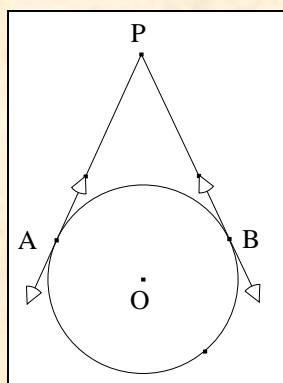


**Traits :**  $ABC$  un triangle,  
 $I$  le cercle inscrit de  $ABC$ ,  
 $DEF$  le triangle de contact de  $ABC$ ,  
 $a, b, c$  les longueurs resp. de  $BC, CA, AB$   
 et  $2.p$  le périmètre de  $ABC$ .

**Donné :**  $AF = (p - a)$ .

### 5. Deux tangentes égales <sup>27</sup>

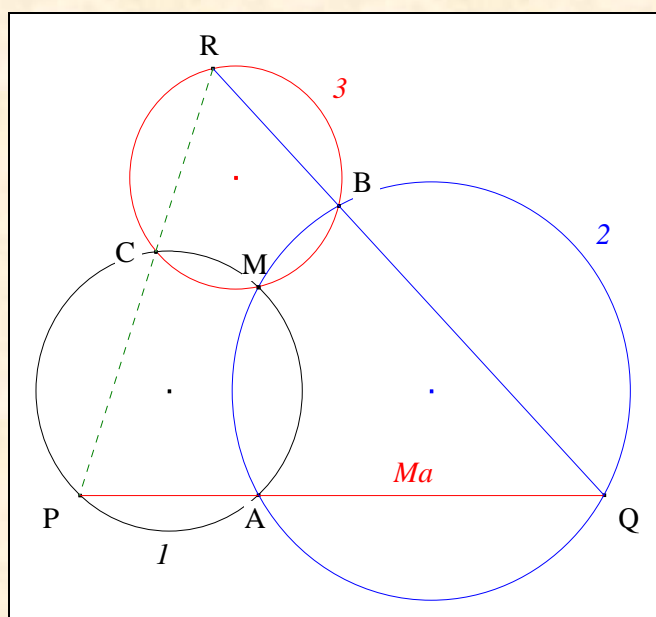
<sup>27</sup> Conséquence de la proposition 36 du Livre III des *Éléments*



**Traits :**  $O$  un cercle,  
 $O$  le centre de  $O$ ,  
 $P$  un point extérieur à  $O$ ,  
 et  $A, B$  les points de contact des deux tangentes à  $O$  menées à partir de  $P$ .

**Donné :** le triangle  $PAB$  est  $P$ -isocèle.

### 6. Le théorème des trois cercles



**Traits :**  $1, 2, 3$  trois cercles concourants,  
 $M$  le point de concours de  $1, 2, 3$ ,  
 $A$  le second point d'intersection de  $1$  et  $2$ ,  
 $Ma$  une  $A$ -monienne de  $1$  et  $2$ ,  
 $P, Q$  les seconds points d'intersection de  $Ma$  resp. avec  $1, 2$ ,  
 $B, C$  les seconds points d'intersection de  $3$  resp. avec  $2, 1$   
 et  $R$  un point de  $3$ .

**Donné :**  $(QBR)$  est une monienne de  $2$  et  $3$   
*si, et seulement si,*  
 $(PCR)$  est une  $C$ -monienne de  $1$  et  $3$ .

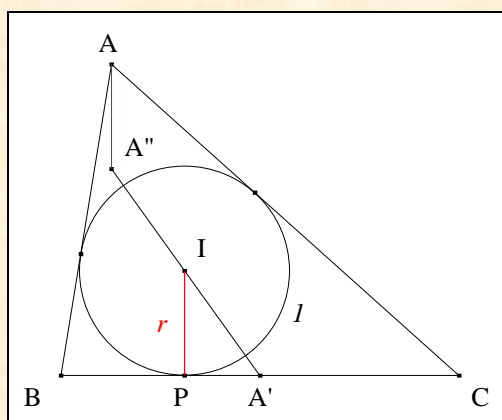
**Commentaire :** ce résultat est une réciproque du pivot de Miquel <sup>28</sup>.

<sup>28</sup> Miquel, Théorèmes de Géométrie, *Journal de mathématiques pures et appliquées* de Liouville vol. **1, 3** (1838) 485-487



Il reste vrai dans les cas de tangence des droites ou de deux cercles.

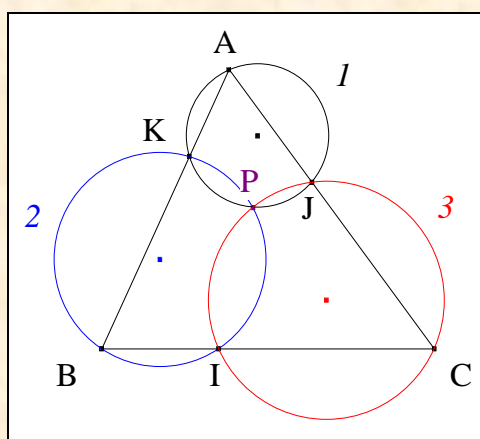
### 7. Rayon du cercle inscrit <sup>29</sup>



**Traits :** ABC un triangle,  
 $I$  le cercle inscrit dans ABC,  
 $I$  le centre de  $I$ ,  
 $r$  le rayon de  $I$ ,  
 $P$  le point de contact de  $I$  avec  $(BC)$ ,  
 $A'$  le milieu de  $[BC]$   
 et  $A''$  le point d'intersection de  $(AI)$  avec la  $A$ -hauteur de ABC.

**Donné :**  $AA'' = IP (= r)$ .

### 8. Le théorème du pivot <sup>30</sup>



**Traits :**  $1, 2, 3$  trois cercles sécants deux à deux,  
 $K, P$  les points d'intersection de  $1$  et  $2$ ,  
 $I$  l'un des points d'intersection de  $2$  et  $3$ ,  
 $J$  l'un des points d'intersection de  $3$  et  $1$ ,  
 $A$  un point de  $1$ ,  
 $B$  le second point d'intersection de la monienne  $(AK)$  avec  $2$   
 et  $C$  le second point d'intersection de la monienne  $(BI)$  avec  $3$ .

**Donné :**  $(CJA)$  est une monienne de  $3$  et  $1$  si, et seulement si,  $3$  passe par  $P$ .

<sup>29</sup>

Poncelet J.-V.

<sup>30</sup>

Miquel, Théorèmes de Géométrie, *Journal de mathématiques pures et appliquées* de Liouville vol. 1, 3 (1838) 485-487